

本州四国連絡橋公団 正会員 田島 二郎
 同 正会員 奥川 淳志
 建設機械化研究所 正会員 ○竹之内博行

1. まえがき

80キロ級高張力鋼は本四連絡橋において相当量の使用が予定されているが、その疲労強度については過去に実績が少ない。本試験では80キロ級高張力鋼を用いたト拉斯格点構造の疲労試験を行ない、格点部の全般的な応力挙動を把握するとともに、格点構造系としての疲労特性を把握し、さらに小型試験片による疲労試験結果との対比ならびにき裂発生の主要因などについて調査した。

2. 試験概要

1) 供試体 格点部の弦材と斜材の結合方式が異なる3種類の垂直材付ワーレン型ト拉斯格点構造供試体を各2体、計6体を「ト拉斯格点構造設計指針」⁽¹⁾に基づいて設計製作し試験を行なった。供試体は図1に示す通りト拉斯型治具に組込み、治具に載荷する事により供試体に実際と同様な荷重が作用する様にした。格点部の詳細を図2に示す。

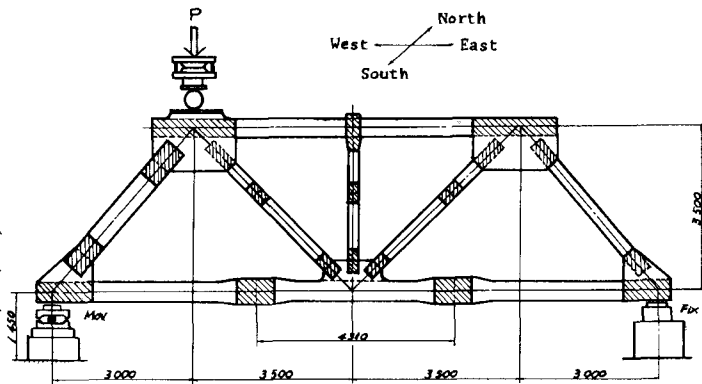


図1. 供試体及びト拉斯型治具

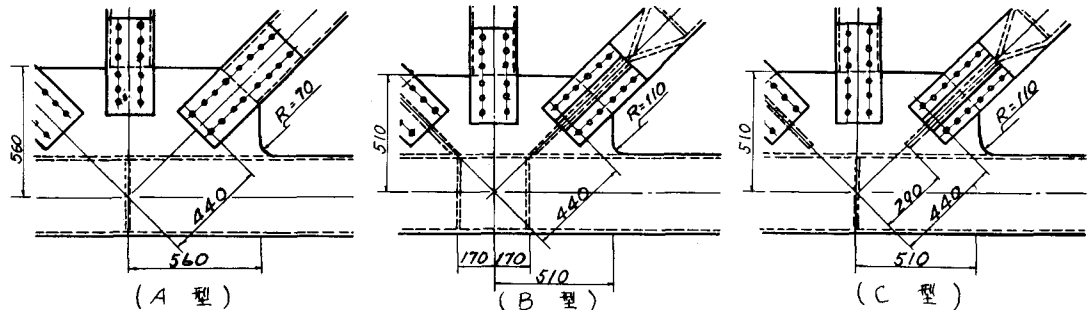


図2. 格点部の詳細

供試体の垂直材、斜材及び下弦材のダイヤフラムにはSM41A材を、他の部分にはすべてHT80材を使用した。その化学的成分と機械的性質を表1に示す。又、使用した溶接棒と溶接条件を表2に示す。

2) 試験方法 疲労試験に先立ち、格点部の応力状態を把握するとともにト拉斯全体の載荷状態を確認するため静載荷試験を行なった。疲労試験は正弦波変動荷重をもって行い、疲労により発生したき裂はカラー・チェックなどを用いて目視により観察した。試験終了後に供試体

表1. 鋼材の化学的成分と機械的性質

材料	化成的成分 (wt %)										機械的性質				
	C ×100	Si ×100	Mn ×100	P ×1000	S ×1000	Cu ×100	Ni ×100	Cr ×100	V ×100	Mo ×100	B ×100	Ceq % wt	Y-P kg/mm ²	T.S. %	E.I. %
HT80	10	26	84	8	4	26	96	49	4	42	10	0.50	82	87	30

表2. 使用溶接棒と溶接条件

溶接箇所	溶接棒	棒径	予熱温度	電流	送丝	備考
下弦材ダイヤフラム 及ぶガセット内 レートのすみ肉 溶接	LBF62	5.5 mm	125~150℃	260 A	水平	
	L70F	"	"	"	↑	
下弦材の角 溶接	LB116	4	"	160	"	仮付
	"	5	"	220	"	本溶接

を解体し、き裂発生点付近を切り出すなどして、破面や溶接状態の調査を行った。

3. 試験結果及び考察

1) 静載荷試験より得られた各軸力や格点部の応力状態は計算結果とよく一致した。400 TON載荷時の代表的な箇所の応力は次の通りであった。可動側下弦材：15.5 % σ_u 、下弦材中央のダイヤフラム下の下フランジ面：12 % σ_u 、ガセット間のプレートのスカラップ部が溶接された付近のガセット面：9 % σ_u 。

2) 疲労試験の結果を表3に示す。き裂をその発生箇所によりL,L',G,F型の4つに分類し、その数とともに表中に示す。L型は可動側下弦材のボックス断面の隅角部角溶接より発生したもの、L'型は可動側下弦材のウェブ板厚変化部分に発生したもの、G型はガセットプレートに発生したもの、F型は下弦材の角溶接のガセットフレット付近に発生したものである。図3にこれらのき裂の代表的な位置を示す。

3) L型き裂の起点は角溶接のルート部である事が破面観察より明らかになった。溶接には特に欠陥は見られなかった。本試験で得られたこの部分の200万回疲労強度は約12.5 % σ_u であるが、これは従来行なわれたビード小型試験片による試験結果より約5 %低い値であった。しかし、試験終了後同様試験の残留応力を測定したところ下弦材の角溶接部には約50 %の引張残留応力が存在している事がわかった。この残留応力が平均応力として疲労強度に影響を与えたと考えると、この約5 %低い試験結果を説明する事ができる。

4) ガセットプレートに発生したき裂の起点は、ガセット間に溶接されたプレートのスカラップのまゆしすみ肉溶接のトウ部であった。この部分の疲労強度は著しく低く、引張主応力で約5～9 % σ_u であった。この部分には斜材方向に引張応力が作用するとともに、それと直角方向にかなりの圧縮応力が作用し、強い二軸応力状態となっているので、Von Misesの応力で評価するとす=9～11 % σ_u となり、ビード形状の悪いすみ肉溶接の場合と同程度になる。

5) 下弦材のダイヤフラムのすみ肉溶接は12.5 % σ_u の繰返し応力を200万回以上受けたとき裂が発生しなかつた。これはビード形状がなめらかになる溶接棒を使用したためと思われ、この種の溶接棒を使用した場合、疲労強度の向上がはかられる事を確認した。

4. あとがき

本試験にあたり多大なる御助力、御指導をいたいたいた石川島播磨重工業株式会社の内野氏、杉崎氏はじめとする関係者の方々に謝意を表します。

⁽⁴⁾ 本州四国連絡橋鋼上部構造研究小委員会 「トラス格点構造設計指針案」 土木学会 昭和51年3月

表3. 疲労試験結果

供試体	試験条件 (上段：荷重範囲 下段：載荷速度) TON cpm	主なき裂の発生位置 ①可動側下弦材(L) ②可動側下弦材(L') ③南北两侧ガセット内面(G) ④北側ガセット内面(G) ⑤可動側下弦材(L) ⑥南北两侧ガセット(G) ⑦南北两侧ガセット内面(G) ⑧北側ガセット内面(G) ⑨より成長した下弦材 ⑩上フランジ	き裂の種類と初期 数
A-1	50～400 156 cpm	①可動側下弦材(L) ②可動側下弦材(L') ③南北两侧ガセット内面(G) ④北側ガセット内面(G) ⑤可動側下弦材(L) ⑥南北两侧ガセット(G) ⑦南北两侧ガセット内面(G) ⑧北側ガセット内面(G) ⑨より成長した下弦材 ⑩上フランジ	L…3 L'…8
A-2	20～400 120～162 cpm	①可動側下弦材(L) ②可動側下弦材(L') ③南北两侧ガセット内面(G) ④北側ガセット内面(G) ⑤可動側下弦材(L) ⑥南北两侧ガセット(G) ⑦南北两侧ガセット内面(G) ⑧北側ガセット内面(G) ⑨より成長した下弦材 ⑩上フランジ	L…2
B-1	20～400 120～144 cpm	①南北两侧ガセット内面(G) ②北側ガセット内面(G) ③可動側下弦材(L) ④南北两侧ガセット(G) ⑤北側ガセット内面(G) ⑥南北两侧ガセット(G) ⑦南北两侧ガセット内面(G) ⑧北側ガセット内面(G) ⑨より成長した下弦材 ⑩上フランジ	L'…1 G…2 F…1
B-2	20～300 210 cpm	①可動側下弦材(L) ②可動側下弦材(L') ③南北两侧ガセット(G) ④北側ガセット内面(G) ⑤南北两侧ガセット(G) ⑥南北两侧ガセット内面(G) ⑦南北两侧ガセット(G) ⑧北側ガセット内面(G) ⑨より成長した下弦材 ⑩上フランジ	L…1
C-1	50～400 156 cpm	①南北两侧ガセット(G) ②北側ガセット内面(G) ③南北两侧ガセット(G) ④北側ガセット内面(G) ⑤南北两侧ガセット(G) ⑥南北两侧ガセット内面(G) ⑦南北两侧ガセット(G) ⑧北側ガセット内面(G) ⑨より成長した下弦材 ⑩上フランジ	L'…1 G…2
C-2	20～320 192 cpm	①南北两侧ガセット内面(G) ②北側ガセット内面(G) ③南北两侧ガセット内面(G) ④北側ガセット内面(G) ⑤南北两侧ガセット内面(G) ⑥南北两侧ガセット内面(G) ⑦南北两侧ガセット内面(G) ⑧北側ガセット内面(G) ⑨より成長した下弦材 ⑩上フランジ	G…2

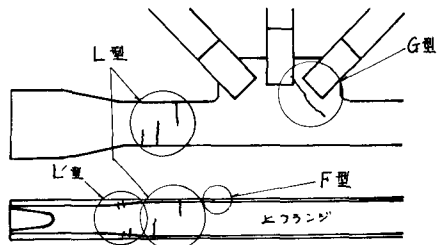


図3. 主なき裂の発生位置